

I. はじめに

物理数学の境界値問題を積分方程式によって解く方法は、今世紀の初頭に研究され始めていたが、解析解を得ることが困難なために、最近まで殆んど活用されなかった。しかし、大容量の計算機が出現するに反して、この解法が見直されたようになつた。

本報は、まず、物理数学に最も普通に現われる2階の線形連立偏微分方程式の初期値・境界値問題を、積分方程式に変換する一般的な方法について述べ、ついで、我々の研究室で解析を試みた具体例を中心に検討を加えたものである。

2. 積分方程式への定式化

いま、領域 $V + \partial V$ で、ベクトル $U^i(x, t)$ ($x = (x^1, x^2, x^3)$, t : 時間) に関する2階の線形偏微分方程式が次のように与えられていらうものとする。

$$(C_{ij}^{kl} U^{i(j)})_k + D \delta^l_i U^i + f^l = a \ddot{U}^l + b \dot{U}^l \quad (1)$$

ここで、 C_{ij}^{kl} は4階のテルツル, f^l はベクトル, D , a , b はスカラーリー定数, δ^l_i は Kronecker's delta, $U^{i(j)}$ などは、 U^i の x^k による共変微分, \dot{U}^i などは dU^i/dt などを意味する $\dot{}$ と $\ddot{}$ である。

いま、初期条件を、 $\dot{U}^i|_{t=0} = \dot{U}_0^i$, $U^i|_{t=0} = U_0^i$ として、式(1)の Laplace 変換を取ると次式を得る。

$$(\bar{C}_{ij}^{kl} \bar{U}^{i(j)})_k + \{D - (av^2 + bv)\} \delta^l_i \bar{U}^i = \bar{f}^l + a \ddot{\bar{U}}^l + (av + b) U_0^l; \quad \delta^l_i \bar{U}^i = \bar{x}^l \quad (2)$$

ここで、 \bar{x}^l は Laplace 変換の $\bar{x}^0 x - t$ とし、変換された量にはバーをつけて示した。

ここで、 $V + \partial V$ で、2つの異なる要素 (要素(1), (2)をつけて区别する) を考えると、次の関係が求まる。

$$\begin{aligned} & \int_V \bar{U}_e^{(1)} [(\bar{C}_{ij}^{kl} \bar{U}^{i(j)})_k + \{D - (av^2 + bv)\} \delta^l_i \bar{U}^i] dV - \int_V \bar{U}^{(1)e} [(\bar{C}_{ij}^{kl} \bar{U}_e^{(2)i})_k + \{D - (av^2 + bv)\} \delta^l_i \bar{U}_e^{(2)i}] dV \\ &= \int_{\partial V} [\bar{U}_e^{(1)} \bar{C}_{ij}^{kl} \bar{U}^{i(j)} - \bar{U}^{(1)e} \bar{C}_{ij}^{kl} \bar{U}_e^{(2)i}] n_k ds - \int_V [\bar{U}^{(1)e} \bar{C}_{ij}^{kl} \bar{U}^{i(j)} - \bar{U}^{(1)e} \bar{C}_{ij}^{kl} \bar{U}_e^{(2)i}] dV \end{aligned} \quad (3)$$

次に、式(2)に対する次式を考える。

$$\delta^l_i \Gamma^i_\alpha (\rho, q; x) = - \delta^l_\alpha \delta(\rho - q) \quad (4)$$

ここで、 ρ , q はそれぞれ觀測点、源点を、また、 $\delta(\rho - q)$ は delta function を表すものとする。
 $\Gamma^i_\alpha (\rho, q; x)$ は、物理的には、真子に x^α 方向に作用する单位の擾乱に由つて、真 ρ に並じる x^α 方向の応答を意味しており、式(2)の基本特異解と呼ばれる。

式(3)はさて、 $\bar{U}^{(1)e}$, $\bar{U}^{(2)e}$ が既知に、それぞれ $\bar{U}^e(\rho; x)$, $\bar{P}_{ex}(\rho, q; x)$ を代入し、 $\bar{P}_{ax}(\rho, q; x) = \bar{P}_{ex}(\rho, q; x)$ を考慮すると、次の積分方程式を得る。

$$\begin{aligned} \bar{U}_a(\rho; x) F(\rho) &= \int_V \bar{P}_{ax}(\rho, \rho; x) \bar{X}^e(q; x) dV + \int_V \bar{C}_{ij}^{kl} [\bar{P}_{ax}(\rho, \rho; x)]_k \bar{U}^i(q; x)|^j - \bar{U}^i(q; x)|_k \bar{P}_{ax}(\rho, \rho; x)|^j dV \\ &+ \int_{\partial V} \bar{C}_{ij}^{kl} [\bar{U}^i(R; x) \bar{P}_{ax}(R, \rho; x)|^j - \bar{P}_{ax}(R, \rho; x) \bar{U}^i(R; x)|^j] ds \end{aligned} \quad (5)$$

$\gamma = 1$, R は ∂V 上の点であり, また $F(p)$ (λ , $p \in V$, $p \in \partial V$) に対して, それが $1, 1/2$ である, その他の場合は 0 である。

式(2)が自己相似形であれば, 式(5)の右辺のオイ2項は 0 となる, さらに, 式(2)が固時形の場合には, 式(5)のオイ1項も 0 となる。

式(5)に沿うる基本特異解は式(4)より $R \rightarrow 0$ で, あるいは適當な境界条件を満すようにして容量に求められるので, 式(5)の積分方程式は ∂V 上の条件を考慮して解くことができる。実際には, 数値的に解かざるを得ないが, 境界の形状は全く任意であってもよい。式(5)を解いて得た解 $\bar{\sigma}_x(p; \gamma)$ は, Laplace変換 (二通り, 逆(ラジオ)とも) となる。これは, 式(1)の求められた解である。

3. 解析例

a) 単位階級環の通過位置で生じる円形埋設物周辺の直応力
状態 (平面ひずみ問題); 埋設物の導電率を E_2 , 周囲の導電体の導電率を E_1 , $\gamma = E_2/E_1$ とし, ポアソン比は両者同じとする。階級環の通過位置に対する埋設物境界エレメントの接線方向応力 $\bar{\sigma}_x$ の状態を図-1~3 に示す。解法の詳細は当日説明する。なお;

b) 3次元問題; 2次元軸対称問題 (これは, 上述の特別の場合と VR が異なる), 2

次元異方性問題, 3

次元問題,

c) 薄板の曲げ問題,

d) 薄板の問題,

e) 透過流の問題,

などとの解析例についても
当日説明する。

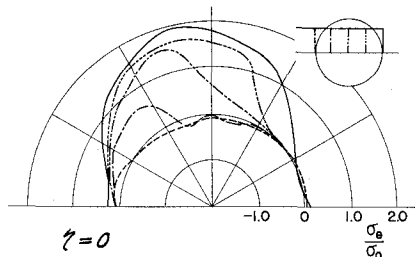


図-1 円孔周辺の応力分布

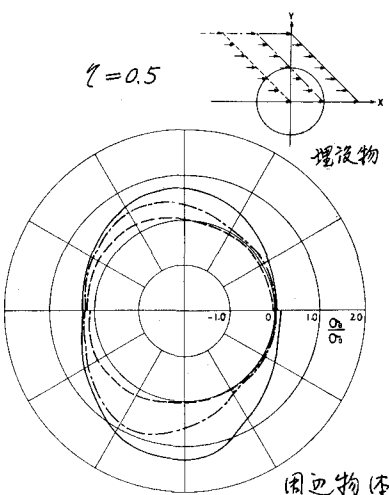


図-2 埋設物境界での応力分布

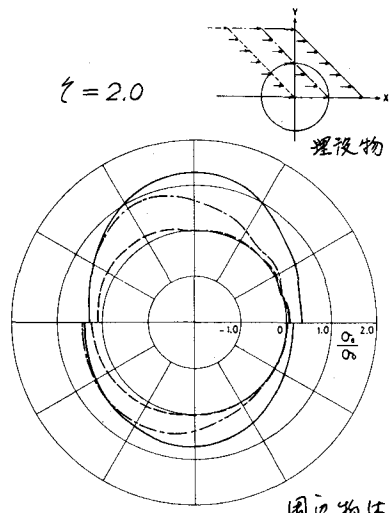


図-3 埋設物境界での応力分布

図-4 トンネル周辺の応力状態

